

京都大學工學部 工員 王博 松尾新一郎
京都大學大學院 學生員 王修 宋永焜

I 素地がき 筆者等は近年來、土質安定の立場より一貫して分散材添加、および締固めによる構造特性を研究して来たが今回特に透水による構造変化等について述べる。粒子配列を示す一例として、カオリンの分散状態にあるものと、ランダム配列にある締固め土の構造を電子顕微鏡写真-1, 2に示した。透水試験に使用して土の粒度曲線を図-1, 2, 3に示した。

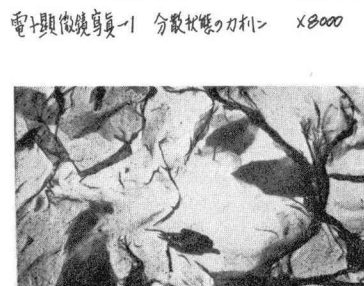
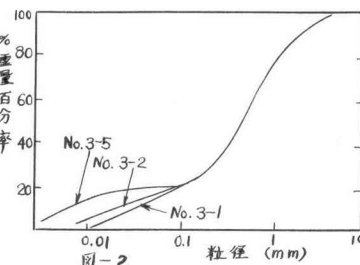
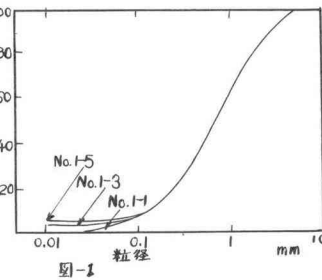
II 関東ローム、マサ締固め土

の軸收縮にあらわれた構造特性。(図-4, 5) 軸方向收縮は締固めの方向、すなわち、平板状粒子の場合はその面に垂直

な方向により大きく收縮を示すものといわれてゐるが、平板状か否か明らかなでない関東ロームにもよくあてはまり、マサ土にはあまりあてはまらないことが図-4, 5から分る。種々のエネルギーを変化して、締固めと粒子の配向はそれに応

じて促進され、軸方向收縮も同様に締固めエネルギーが大きくなるにつれて大きくなることが図-4から分る。マサ土ではもしろ、膨脹を示す例もあり、これはマサ土の粒子の破碎と締固め後の弾性回復によるものと思われる。マサ土の配向はその粒子摩擦により阻害され、平板上粘性土のような收縮運動を示さない。

III 透水性と構造特性(図-6, 7) 古くからある Koyen-Carman の式を粒子配向の立場より書き直すと $\rho_0 S = \frac{1}{\rho_0} \frac{e^2}{1+e}$ となる。この場合 $\rho_0 S$ の項が粒子配向の度合を示すものであり(ρ_0 : 向けきの形状と流れの曲折などにより決まる定数, S : 比表面積), これを締固め時の含水比に対比してアロットしたのが図-6, 7である。粒子の配向度 $\rho_0 S^2$ は最適含水比(w_{opt})附近までは急速に促進され、それ以後はあまり変化せりが、またはむしろ減少する。 w_{opt} 以後では比較的粗粒子を多く含む 101-1, 101-3, 101-5, (図-6) では配向度がむしろ減少し



電子顕微鏡写真-1 分散状態のカオリン $\times 8000$
(締固め方向に垂直な面)

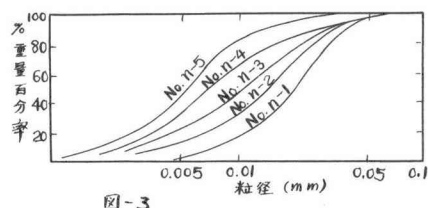


図-3

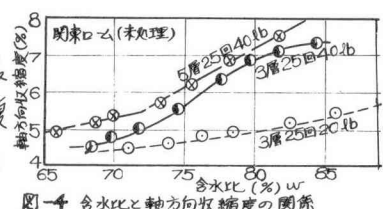


図-4 含水比と軸方向收縮率の関係

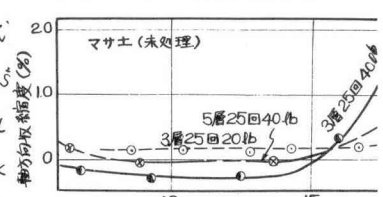


図-5 含水比と軸方向收縮率の関係

でりますが、これは含水比の増加につれて粗粒子が移動し始め、細粒子の配向運動を阻害してしまつものと思われます。一方、粗粒子の比較的少ないもの(図-7)では W_{opt} 以後でも粒子配向が尚子り阻害されてしまうことがあります。その中でも No.1 は No.2 …… No.5 よりも多くの粗粒子を含み、比較的粒子配向が阻害されてしまつます。図-8, 9 はそれを $U_{0.020}$, $U_{0.074}$ ($U_{0.074}$: 粒径 0.074 mm 以下を含む%) に対する k_0S^2 の変化をプロットしたものであるが図-8 では粒度分布の相違による粒子配向の傾向分離があらわれていますが、図-9 ではそれに直角に反対であらわれていますことは注目すべき事実である。これら

の図から、ある粒径以下(0.020 mm)の細粒土含有率が土粒子配向の促進、分離を支配していることが分かります。また図-10 は有効粒径 D_{10} に対する土粒子配向の影響をあらわしたもの

で linear な関係にあることが分かります。

Ⅳ あとがき 電子顕微鏡、X線による粒子配向の直接的確認を研究中であり、くわしいことは後日発表するつもりである。安定処理土の機械的、化学的変化による構造変化をとらえることを筆者等の最終目的である。

(4) 構造 “種子回復-4”構造活性化実験面面解説講演会。

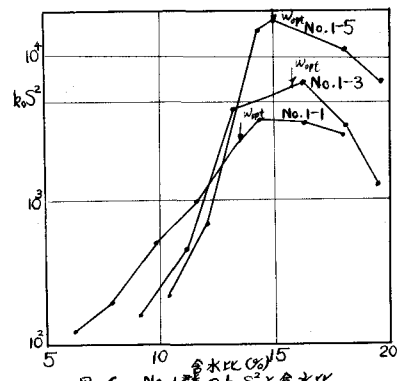


図-6 No. 1群の k_0S^2 と含水比

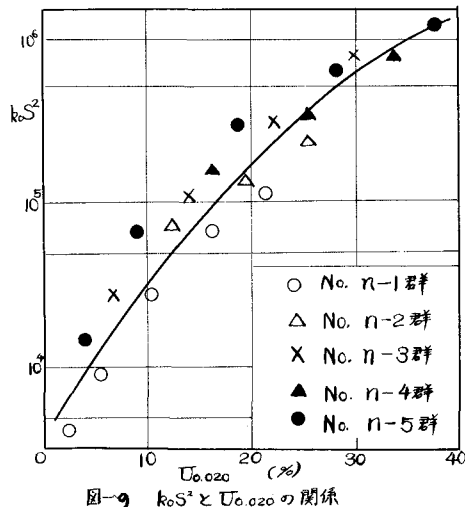


図-9 k_0S^2 と $U_{0.020}$ の関係

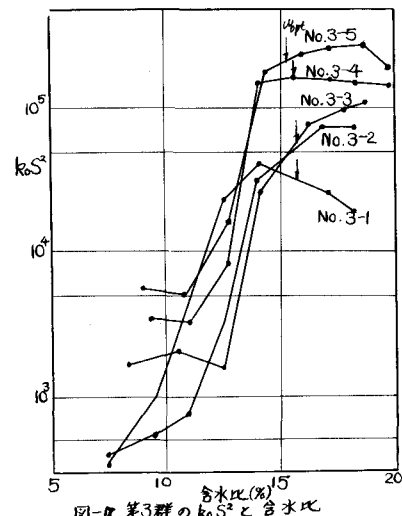


図-7 第3群の k_0S^2 と含水比

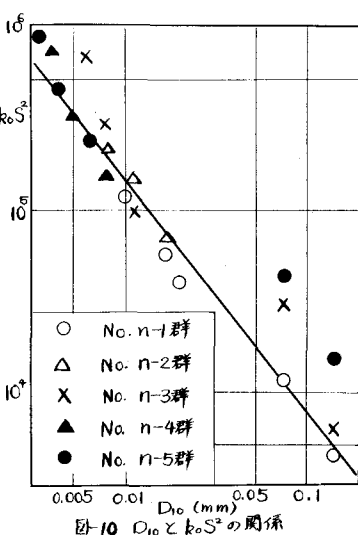


図-10 D_{10} と k_0S^2 の関係

